

Лучевая диагностика

Голова и шея

Direct Diagnosis in Radiology

Head and Neck Imaging

Ulrich Moedder, MD

Professor of Radiology
Director of the Institute of Diagnostic Radiology
University Hospital
Düsseldorf, Germany

Mathias Cohnen, MD

Assistant Professor of Radiology
Institute of Diagnostic Radiology
University Hospital
Düsseldorf, Germany

Kjel Andersen, MD

Institute of Diagnostic Radiology
University Hospital
Düsseldorf, Germany

Volkher Engelbrecht, MD

Professor
Head of Department of Radiology
St.-Marien Hospital
Amberg, Germany

Benjamin Fritz, MD, DMD

Department of Radiology
University of Düsseldorf Medical Center
Düsseldorf, Germany

259 Illustrations

Thieme
Stuttgart • New York

Лучевая диагностика

Голова и шея

Ульрих Мёддер

Матиас Конен

Киль Андерсен

Фолькгер Энгельбрехт

Беньямин Фриц

Перевод с английского

Второе издание



Москва
«МЕДпресс-информ»
2015

УДК 616-073.75:617.51/.53
ББК 53.6:56.8
M42

Все права защищены. Никакая часть данной книги не может быть воспроизведена в любой форме и любыми средствами без письменного разрешения владельцев авторских прав.

Перевод с английского: В.А.Климов

Мёддер У.

M42 Лучевая диагностика. Голова и шея / Ульрих Мёддер, Матиас Конен, Киль Андерсен, Фолькгер Энгельбрехт, Беньямин Фриц ; пер. с англ. – 2-е изд. – М. : МЕДпресс-информ, 2015. – 304 с. : ил.
ISBN 978-5-00030-260-6

Книга входит в серию «Dx-Direct!», посвященную визуализационным методам диагностики различных органов и систем. Все книги серии построены по единой схеме, которая предусматривает обзор важнейших заболеваний и патологических состояний с кратким описанием их этиологии, патогенеза и клинических проявлений, тактики лечения и прогноза. В каждом разделе подробно представлены визуализационные методы инструментальной диагностики (рентгеновское исследование, УЗИ, КТ, МРТ и т.п.), необходимые проекции и режимы для диагностики той или иной патологии, радиологические симптомы, дифференциальная диагностика.

Практическое руководство «Лучевая диагностика. Голова и шея» будет полезно врачам-рентгенологам, неврологам, отоларингологам, а также студентам, клиническим ординаторам, аспирантам медицинских вузов и факультетов.

УДК 616-073.75:617.51/.53
ББК 53.6:56.8

ISBN 978-3-13-144081-5

© 2008 of the original English language edition
by Georg Thieme Verlag KG, Stuttgart, Germany.
Original title: «Direct Diagnosis in Radiology: Head
and Neck», by U.Moedder (editor). M.Cohnen,
K.Andersen, V.Engelbrecht, B.Fritz

ISBN 978-5-00030-260-6

© Издание на русском языке, перевод на русский
язык, оформление, оригинал-макет. Издательство
«МЕДпресс-информ», 2010

Список сокращений 8**1 Основание черепа**

М.Конен, Ф.Энгельбрехт

Лобный гиперостоз	9
Киста паутинной оболочки	12
(Эн)цефалоцеле	15
Фиброзная остеодисплазия	18

Эозинофильная гранулема	21
Менингиома	24
Хордома ската черепа	27
Эстезионейробластома	29

2 Пирамида височной кости

М.Конен

Пневматизация верхушки пирамиды височной кости	32
Отосклероз, или отоспонгиоз	35
Аномалии пирамиды височной кости	37
Переломы пирамиды височной кости	40
Поражение лицевого нерва	43

Средний отит	46
Холестеатома	49
Шваннома преддверно- улиткового нерва	52
Параганглиома, опухоль гломуса	54
Рабдомиосаркома	57

3 Глазница

М.Конен, Ф.Энгельбрехт

Эндокринная офтальмопатия	61
Поднадкостничный абсцесс	64
Ложная опухоль глазницы	67
Неврит зрительного нерва	70
Гемангиома глазницы	72
Глиома зрительного нерва	75

Ретинобластома	78
Меланома сетчатки	81
Менингиома зрительного нерва	83
Лимфома глазницы	85
Метастазы в верхушку глазницы	87

4 Придаточные пазухи носа

М.Конен

Варианты нормы	89
Переломы костей средней зоны лица	92
Синусит, полипоз	95
Послеоперационный период	99
Ретроназальный полип	102
Мукоцеле	105

Грибковая инфекция	108
Гранулематоз Вегенера	112
Ангиофиброма носоглотки	115
Инвертированная папиллома	118
Злокачественные эпителиальные опухоли	121
Неходжкинская лимфома	124

5 Глотка

Б.Фриц

Киста Торнвальдта	127	Окологлоточный абсцесс	137
Сpondилодисцит	130	Рак глотки	140
Перитонзиллярный абсцесс	134	Лимфома миндалин	144

6 Гортань

К.Андерсен

Нормальные показатели	147	Предпозвоночный абсцесс	
Ларингоцеле	148	шейного отдела позвоночника	161
Дивертикул Ценкера	151	Рак надскладочного отдела	
Отек гортани	154	гортани	165
Перелом щитовидного хряща	158	Рак голосовых складок	169

7 Полость рта

Б.Фриц

Неодонтогенная киста	173	Абсцесс полости рта	186
Щитовидно-язычная		Остеомиелит нижней	
киста	176	челюсти	189
Односторонняя атрофия		Амелобластома	193
мыщц	179	Рак языка	196
Оdontогенная киста	182	Рак дна полости рта	199

8 Слюнные железы

К.Андерсен

Нормальные показатели	202	Синдром Шегрена	218
Варианты развития слюнных		Абсцесс слюнной железы	222
желез	203	Полиморфнаяadenома	225
Опухоль Уортина	207	Лимфома слюнных желез	228
Ранула	210	Рак слюнных желез	232
Сиалолитиаз, сиаладенит	213		

9 Мягкие ткани шеи

Б.Фриц

Бранхиогенная киста	236
Гематома шеи	239
Тромбоз яремной вены	242
Аневризма, расслоение внутренней сонной артерии	246
Абсцесс шеи, флегмона	250
Лимфогенная киста шеи	253
Гемангиома	257
Аденома парашитовидной железы	260
Зоб (многоузловой, диффузный)	263
Рак щитовидной железы	267
Ятрогенные изменения	270

10 Лимфатические узлы

К.Андерсен

Нормальные показатели	274
Шейный лимфаденит	277
Туберкулез	281
Лимфома	285
Метастазы	289

Алфавитный указатель	294
-----------------------------------	------------

В книге интенсивность сигнала при МРТ и плотность при КТ описаны в сравнении с окружающими тканями. При исследовании головного мозга гипо- или гиперинтенсивность представлены в отношении нормального белого вещества. Но так как в области лица и шеи расположены различные ткани и органы, мышцы приняты за ориентир для лучшего понимания. Поэтому гипо- или гиперинтенсивное, пониженной или повышенной плотности обычно описывается по отношению к мышечной ткани, если нет особых указаний.

Определение

► Эпидемиология

Распространенность 5–10% • Часто встречается у женщин (до 40%).

► Этиология, патофизиология, патогенез

Утолщение внутренней пластиинки свода черепа, обычно неоднородное, преимущественно поражается лобная кость • Добропачественное течение • Этиология неизвестна • Встречается при многих синдромах и эндокринных заболеваниях (например, синдром Морганы, синдром Стюарта–Мореля) • Широко распространен среди пожилых людей, страдающих сахарным диабетом.

Данные методов визуализации

► Метод выбора

КТ.

► Данные КТ

Неоднородное, иногда бугристое утолщение внутренней пластиинки свода черепа • Другие костные структуры не изменены • Отсутствуют деструкция или изменения матрикса.

► Данные МРТ

Утолщение и гиперинтенсивность свода черепа вследствие отложения жировой ткани в дипло.

► Патогномоничные признаки

Неоднородное, бугристое утолщение внутренней пластиинки свода черепа.

Клинические аспекты

► Типичная картина

Практически всегда является случайной находкой • Может возникать при различных синдромах и эндокринных заболеваниях • Иногда сопровождается головной болью в связи с различными причинами.

► Тактика лечения

Не требует лечения.

► Течение и прогноз

Добропачественное течение.

► Что хотел бы знать лечащий врач?

Исключение других заболеваний, имеющих сходную картину.

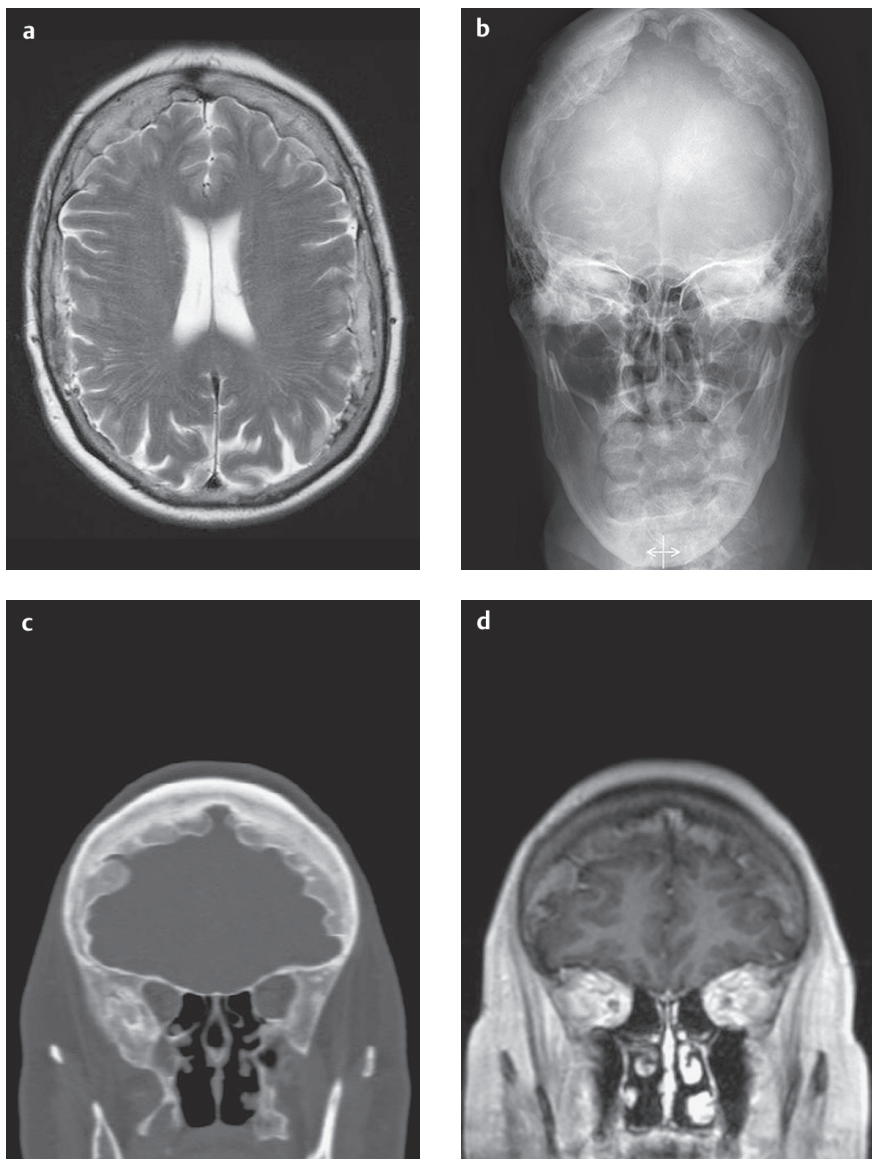


Рис. 1.1 а–д Женщина 70 лет с жалобами на левостороннюю головную боль. Т2-взвешенное изображение в горизонтальной плоскости (а): общий гиперостоз. На рентгенограмме (б) видно неоднородное утолщение свода черепа. КТ (с) и Т1-взвешенное изображение (д) во фронтальной плоскости: наблюдается утолщение внутренней пластиинки свода черепа.

Дифференциальная диагностика

- Фиброзная остеодисплазия**
- Замещение кости фиброзно-костной тканью, главным образом в костномозговой полости, что приводит к увеличению объема кости
- Болезнь Педжета**
- Обычно двустороннее поражение
 - Сочетание остеолитических и остеопластических процессов
- Метастазы в кости**
- Например, остеопластические метастазы рака молочной или предстательной железы
 - Анамнез
 - Сцинтиграфия
- Гиперпаратиреоз**
- Гиперкальциемия
 - Симметричное утолщение других костных структур
- Синдром «волосатого черепа», или «ежика» (игольчатый периостоз)**
- Клинические проявления (талассемия)
 - Гиперплазия костного мозга с радиальным уплотнением диплоэ и наружной пластинки

Советы и ошибки

Лобный гиперостоз может быть трудноотличим от тонкой субдуральной гематомы, основываясь лишь на особенностях МРТ • Устранить сомнения поможет КТ.

Литература

- Chaljub G et al. Unusually exuberant hyperostosis frontalis interna: MRI. Neuro-radiology 1999; 41(1): 44–45
- Dihlmann W. Computerized tomography in typical hyperostosis cranii (THC). Eur J Radiol 1981; 1(1): 2–8
- She R, Szakacs J. Hyperostosis frontalis interna. Ann Clin Lab Sci 2004; 34: 206–208

Определение

- ▶ **Эпидемиология**
Встречается в любом возрасте • 75% случаев диагностируется в детском возрасте • Киста обычно расположена в мостомозжечковом углу проксимальнее ствола мозга (средняя черепная ямка) • В 10% случаев поражается задняя черепная ямка.
- ▶ **Этиология, патофизиология, патогенез**
Кистозное внутричерепное или внутриспинномозговое образование, ограниченное от субарахноидального пространства паутинной оболочкой.

Данные методов визуализации

- ▶ **Метод выбора**
МРТ.
- ▶ **Данные КТ**
Образование в мостомозжечковом углу, по плотности идентичное ЦСЖ • Отсутствует усиление после введения контраста.
- ▶ **Данные МРТ**
Объемное образование с четкими границами, расположенное проксимальнее внутреннего слухового прохода, имеет высокую интенсивность сигнала на Т2-взвешенном изображении и низкую интенсивность сигнала на Т1-взвешенном изображении • Дифференцировать от эпидермоида помогает FLAIR-изображение (низкая интенсивность сигнала) и диффузионно-взвешенное изображение (отсутствие снижения диффузии, низкая интенсивность сигнала, высокий ИКД) • Отсутствует усиление после контрастирования гадолинием.
- ▶ **Патогномоничные признаки**
Образование, идентичное по плотности, или изоинтенсивное, ЦСЖ • Полное подавление сигнала на FLAIR-изображениях • Отсутствие снижения диффузии на диффузионно-взвешенном изображении.

Клинические аспекты

- ▶ **Типичная картина**
Обычно обнаруживают случайно • Может вызывать головную боль, нарушение походки, снижение слуха.
- ▶ **Тактика лечения**
В большинстве случаев лечение не требуется • При наличии клинических проявлений проводится дренирование (фенестрация).
- ▶ **Течение и прогноз**
Со временем не увеличивается • Лечение необходимо только в случаях с выраженной клинической симптоматикой • Прогноз благоприятный • Как правило, не рецидивирует.
- ▶ **Что хотел бы знать лечащий врач?**
Диагноз или дифференциальный диагноз.

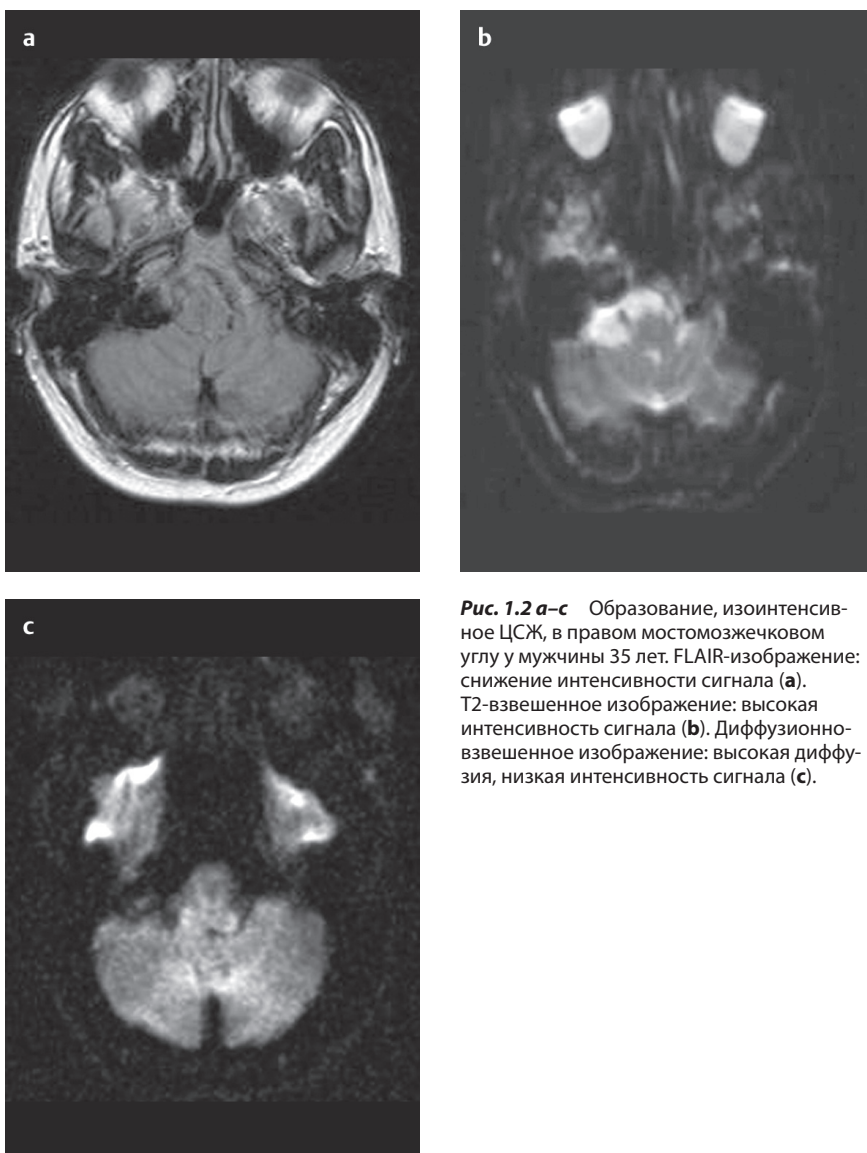


Рис. 1.2 а–с Образование, изоинтенсивное ЦСЖ, в правом мостомозжечковом углу у мужчины 35 лет. FLAIR-изображение: снижение интенсивности сигнала (а). Т2-взвешенное изображение: высокая интенсивность сигнала (б). Диффузионно-взвешенное изображение: высокая диффузия, низкая интенсивность сигнала (с).

Дифференциальная диагностика

Эпидермоид

- При стандартных последовательностях МРТ интенсивность сигнала не отличается от образования в мосто-мозжечковом углу
- Врожденная холестеатома с внутричерепным распространением
- Отсутствие усиления
- Снижение диффузии, высокая интенсивность сигнала при диффузионно-взвешенном изображении, низкий ИКД

Кистозная опухоль (например, менингиома, шваннома)

- Не полностью изоинтенсивная или идентичная по плотности ЦСЖ
- Очаговое усиление после введения контраста или гадолиния

Советы и ошибки

Кисту по ошибке можно принять за опухоль.

Литература

- Dutt SN et al. Radiologic differentiation of intracranial epidermoids from arachnoid cysts. *Otol Neurotol* 2002; 23(1): 84–92
- Kolllias SS et al. Cystic malformations of the posterior fossa: differential diagnosis clarified through embryologic analysis. *Radiographics* 1993; 13(6): 1211–1231
- Osborn AG, Preece MT. Intracranial cysts: radiologic-pathologic correlation and imaging approach. *Radiology* 2006; 239: 650–664

Определение

► Эпидемиология

1–3 на 10 000 новорожденных • 80% цефалоцеле – затылочное цефалоцеле, 5–10% – теменное или лобное.

► Этиология, патофизиология, патогенез

Выпячивание внутримозговых структур через дефект свода черепа • Менингоэнцефалоцеле содержит ЦСЖ, оболочки и вещество головного мозга • Менингоцеле содержит только мозговые оболочки и ЦСЖ.

Причины:

- *Основание черепа и позвоночник*: Неполное закрытие нервной трубы.
- *Свод черепа*: Нарушение развития костей свода черепа.

Данные методов визуализации

► Метод выбора

МРТ.

► Данные КТ

Костный дефект с выпячиванием мозговых оболочек, заполненных ЦСЖ • Может содержать вещество головного мозга.

► Данные МРТ

Выпячивание мозговых оболочек через дефект свода черепа, содержащее или не содержащее вещество головного мозга.

Дефекты нервной трубы:

- *Затылочное энцефалоцеле*: Миеломенингоцеле.
- *Теменное энцефалоцеле*: Дефекты срединных структур головного мозга, такие как агенезия мозолистого тела и голопрозэнцефалия.
- *Лобно-решетчатое энцефалоцеле*: Нет сопутствующих пороков развития.

► Патогномоничные признаки

Выбухание оболочек и вещества головного мозга через костный дефект.

Клинические аспекты

► Типичная картина

Пульсирующие образования в затылочной или лобной области по средней линии • Возможны нарушения дыхания или дисфагия • Гипертelorизм • Неврологические расстройства у пациентов с сопутствующими пороками развития.

► Тактика лечения

Хирургическая коррекция.

► Течение и прогноз

Хороший прогноз при отсутствии других пороков развития • В противном случае прогноз зависит от результатов хирургического лечения и сопутствующих неврологических нарушений.

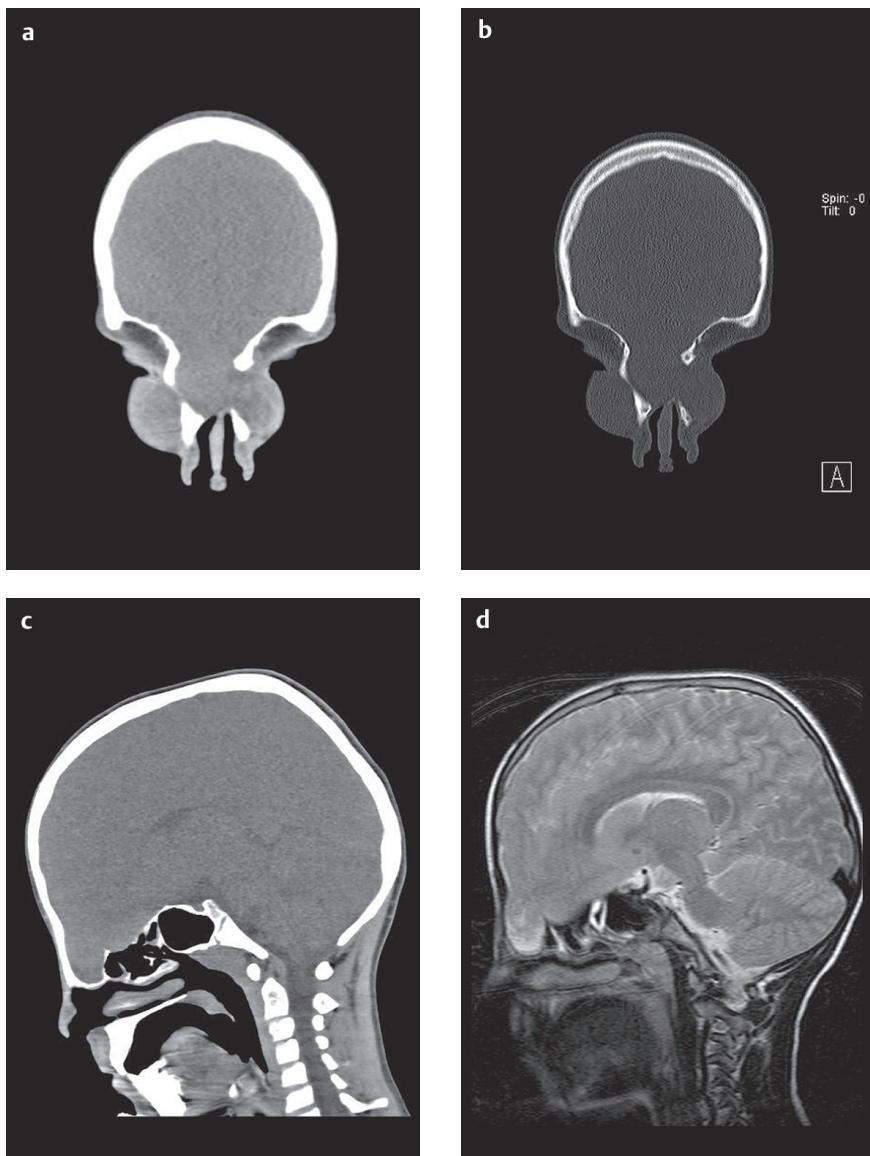


Рис. 1.3 a–d Лобно-базальное менингоэнцефалоцеле. КТ: дефект кости (а, б), протрузия тканей головного мозга в параназальные мягкие ткани лица (с). МРТ, Т2-взвешенное изображение (д): четко дифференцируются вещество и оболочки головного мозга.

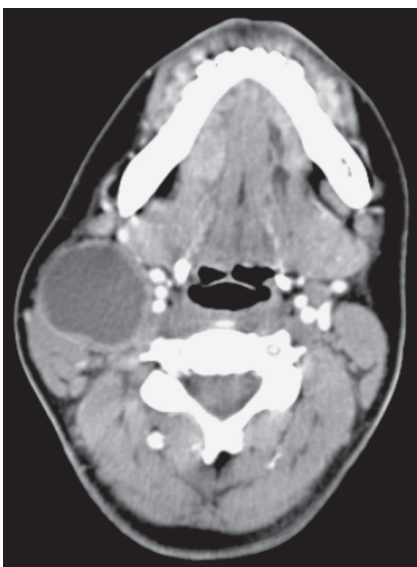


Рис. 9.1 Инфицированная бранхиогенная киста. КТ с контрастированием: киста на уровне правого угла нижней челюсти. Наблюдаются утолщение и усиление стенки кисты, а также снижение плотности в центре образования. Грудино-ключично-сосцевидная мышца смещена кзади и латерально, нервно-сосудистый пучок – медиально.

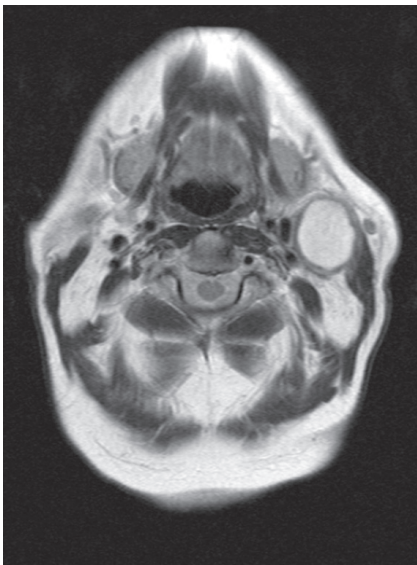


Рис. 9.2 МРТ, Т2-взвешенное изображение без контрастирования: бранхиогенная киста в левой поднижнечелюстной области. Интенсивность сигнала в центре кисты значительно повышена, сигнал от стенки кисты имеет промежуточную интенсивность. Грудино-ключично-сосцевидная мышца смещена кзади и латерально, нервно-сосудистый пучок – медиально.

► **Тактика лечения**

Полное удаление кисты с иссечением всех свищевых ходов.

► **Течение и прогноз**

После полного удаления прогноз благоприятный • В случае инфицирования кисты оперативное вмешательство откладывают до стихания воспалительного процесса.

Дифференциальная диагностика

Увеличение лимфатических узлов (воспаление или опухолевое поражение)

- Усиление сигнала в центре узла после введения контраста (при отсутствии некроза)
- Как правило, увеличивается несколько лимфатических узлов, расположенных вдоль сосудов

Лимфогенная киста шеи

- Обычно многокамерная
- Как правило, крупное образование с наличием перегородок
- Чаще всего встречается у детей младше 2 лет

Абсцесс

- Обычно вызывает воспалительную реакцию окружающих тканей

Гематома

- Отсутствие усиления стенки
- Интенсивность сигнала непостоянна

Киста тимуса

- Расположена на более низком уровне в пределах нервно-сосудистого пучка
- Кистозное образование, изображение иногда напоминает губку

Кистозная невринома

- Располагается латеральнее нервно-сосудистого пучка

Советы и ошибки

Можно спутать с абсцессом или гематомой • Дифференциально-диагностический признак: расположение по отношению к нервно-сосудистому пучку.

Литература

Dernis HP, Bozec H, Halimi P, Vilde F, Bonfils P. Cyst of the parapharyngeal space arising from the branchial arches. Ann Otolaryngol Chir Cervicofac 2004; 121(3): 175–178

Girvigian MR, Rechdouni AK, Zeger GD, Segall H, Rice DH, Petrovich Z. Squamous cell carcinoma arising in a second branchial cleft cyst. Am J Clin Oncol 2004; 27(1): 96–100

Lev S, Lev MH. Imaging of cystic lesions. Radiol Clin North Am 2000; 38(5): 1013–1027